



## Imagen en Cardiología

# Endocarditis sobre prótesis aórtica percutánea (TAVI)



## Infective endocarditis after transcatheter aortic valve implantation (TAVI)

Manuel Almendo-Delia<sup>a,\*</sup>, Álvaro Izquierdo-Bajo<sup>a</sup> y Zineb Kounka<sup>b</sup>

<sup>a</sup> Unidad Coronaria, Unidad de Gestión Clínica de Cardiología y Cirugía Cardiovascular, Hospital Universitario Virgen Macarena, Sevilla, España

<sup>b</sup> Servicio de Cardiología, Hospital San Pedro de Alcántara, Cáceres, España

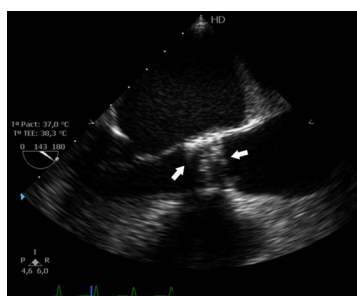


Figura 1



Figura 2



Figura 3

\* Autor para correspondencia.

Correo electrónico: [almendrode@secardiologia.es](mailto:almendrode@secardiologia.es) (M. Almendo-Delia).

<https://doi.org/10.1016/j.carcor.2016.12.004>

1889-898X/© 2017 SAC. Publicado por Elsevier España, S.L.U. Todos los derechos reservados.

Mujer de 81 años hipertensa con implante hacía 5 años de prótesis Edwards SAPIEN® (Edwards Lifesciences) por vía transapical (TAVI). Acude por síncope y *shock* cardiogénico que precisó intubación orotraqueal y aminas a dosis altas. Un ecocardiograma transtorácico reveló gradientes transprotésicos elevados (velocidad máxima de 4,2 m/s, gradiente máximo de 79 y medio de 49 mmHg). Una ecocardiografía transesofágica (fig. 1, flechas. Vídeo, material adicional en *web*) evidenció imágenes ecodensas vibrátiles intraprotésicas de difícil valoración por interferencia del material protésico. Se aisló en hemocultivos *Streptococcus gallolyticus* (ex *S. bovis*). Se desestimó intervención quirúrgica y la paciente fue exitus. La necropsia evidenció una desestructuración total del tejido valvular con imágenes de verrugas endocardíacas múltiples (figs. 2 y 3, flechas).

La endocarditis sobre TAVI es una entidad infrecuente, con una incidencia del 0-2,3%, probablemente infradiagnosticada por la difícil interpretación de las imágenes ecocardiográficas; la relación entre imagen ecocardiográfica-anatomopatológica podría ayudar para interpretar los hallazgos ecocardiográficos.

---

### **Anexo. Material adicional**

Se puede consultar material adicional a este artículo en su versión electrónica disponible en <http://dx.doi.org/10.1016/j.carcor.2016.12.004>.